

République Algérienne Démocratique et Populaire Ministère de l'Enseignement Supérieure et de la Recherche Scientifique Université de Relizane Institut des Sciences Exactes et Sciences de la Nature et de la Vie Département de Physique



Master I : Mécanique et Modélisation numérique.

Physique des solide approfondie

Présentée par: Dr Talbi Khadidja

Plan de présentation

1) Généralités:

- Réseaux de Bravais et réseaux réciproque
- Méthodes de déffraction
- Zones de Brillouin

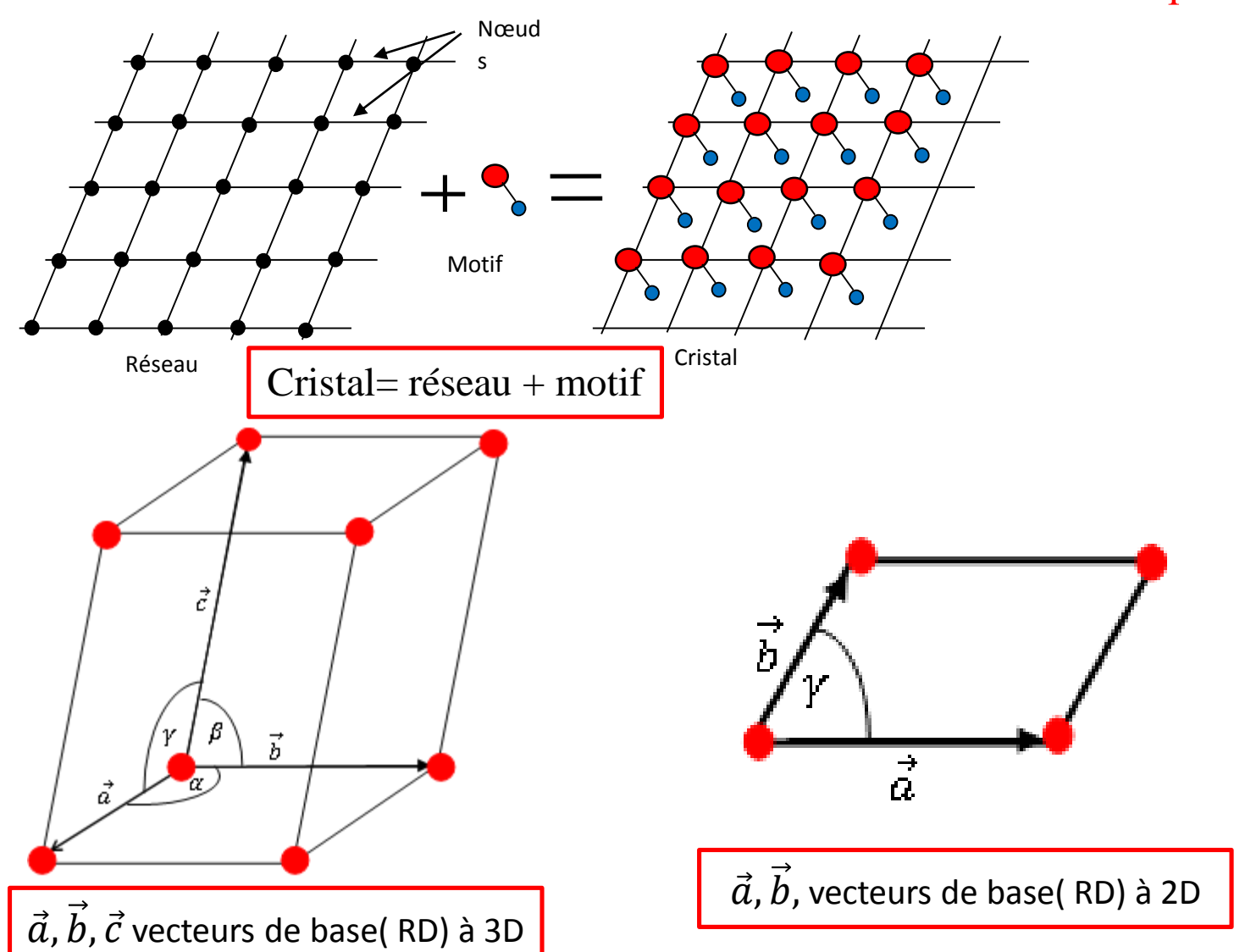
2) Electron dans un cristal

- Classement les solides à partir de la structure de bandes
- La fonction de Block
- La masse effective

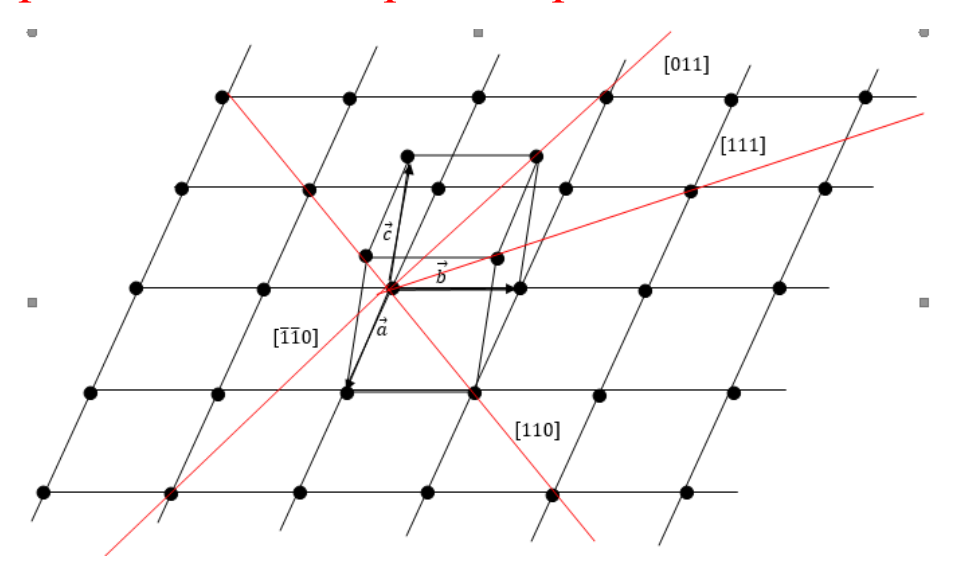
3) Méthodes de calcul

- Approximation d'électron presque libre (quasi libre)
- Méthode de liaisons fortes
- Méthode APW(ondes planes augmentes)
- Méthode FP-APW
- Théorie de la fonctionnelle de la densité

Le cristal: est caractérisé par la répétition tridimensionnelle d'un motif (atome, molécule,...)



Les rangées [u v w]: On appelle rangée toute droite passant par deux nœuds quelconque

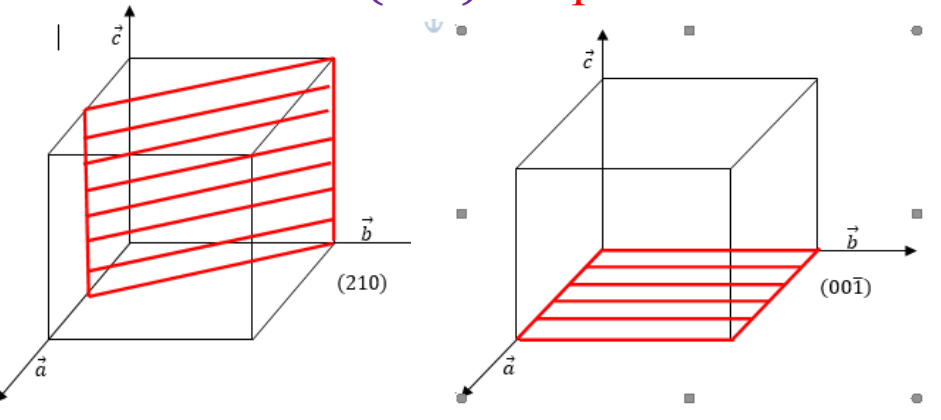


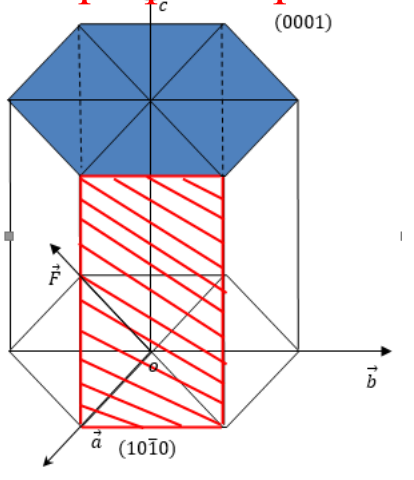
$$: \vec{R} = u\vec{a} + v\vec{b} + w\vec{c}$$

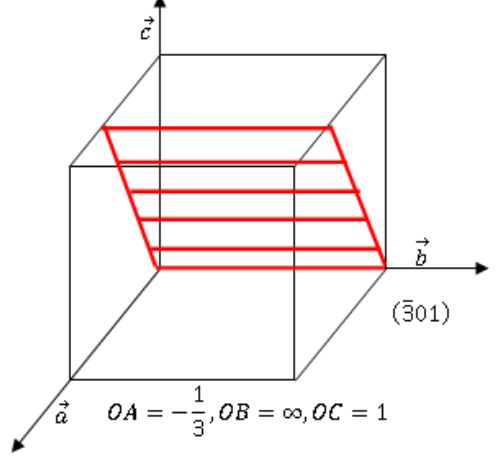


 \vec{a} vecteurs de base(RD) à 1D

Plans réticulaires (hkl):Un plan réticulaire est un plan qui passe par au moins trois nœuds du réseau non alignes.



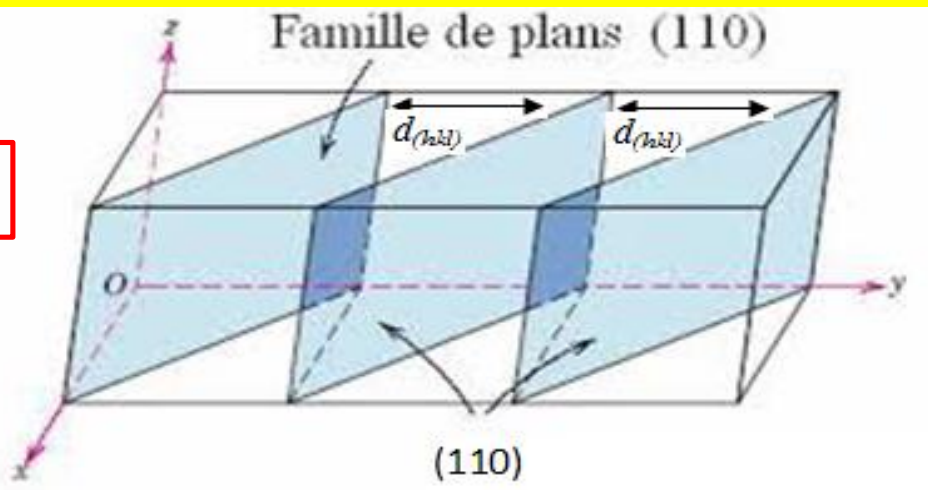




La distance inter-réticulaire d_{hkl} entre les plans réticulaire de la famille

$$d_{hkl} = \frac{2\pi V}{abc\left\{h^2\frac{sin^2\alpha}{a^2} + k^2\frac{sin^2\beta}{b^2} + l^2\frac{sin^2\gamma}{c^2}\right) + 2\left[\frac{hk}{ab}(cos\alpha.cos\beta - cos\gamma) + \frac{hl}{ac}(cos\alpha.cos\gamma - cos\beta) + \frac{kl}{bc}(cos\beta.cos\gamma - cos\alpha)\right]\right\}^{\frac{1}{2}}}$$

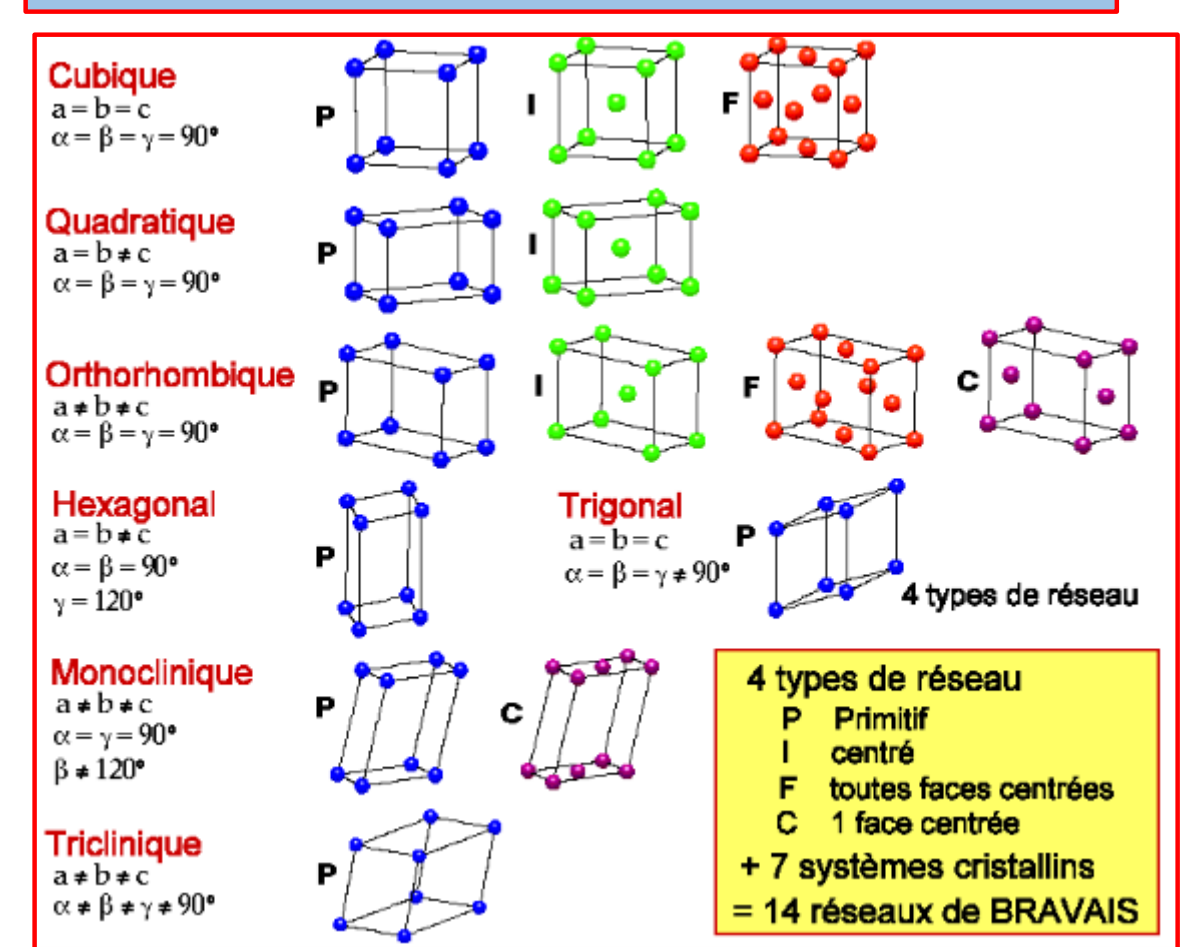
$$V = abc[1 + 2\cos\alpha \cdot \cos\beta \cdot \cos\gamma - (\cos\alpha^2 + \cos\beta^2 + \cos\gamma^2)]^{\frac{1}{2}}$$



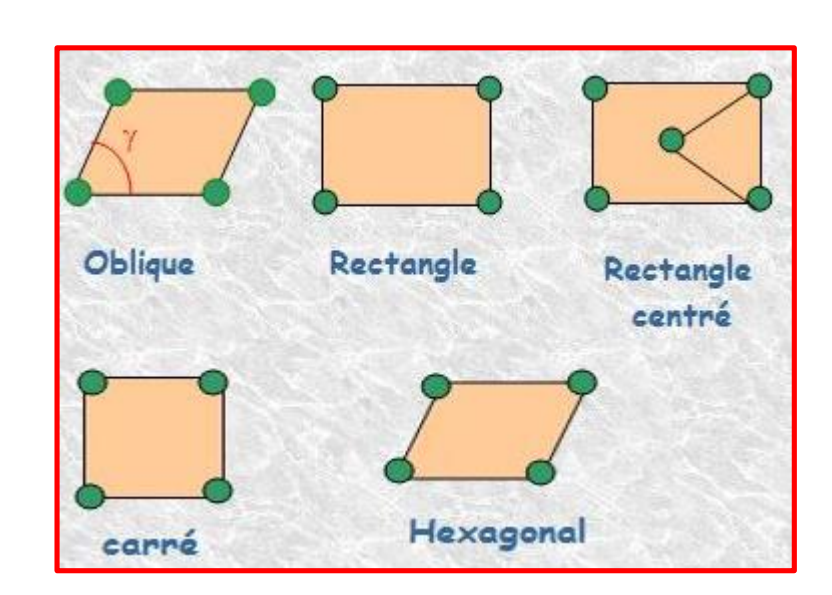
Réseaux de Bravais:

Auguste Bravais(1848) a montré, à partir des différentes combinaisons des éléments de symétrie cristalline, 32 classes de symétrie, qui elles-mêmes se répartissent en 14 types de réseaux.

Réseau tridimensionnel(3D): septe système cristallin : 14 types de réseaux.



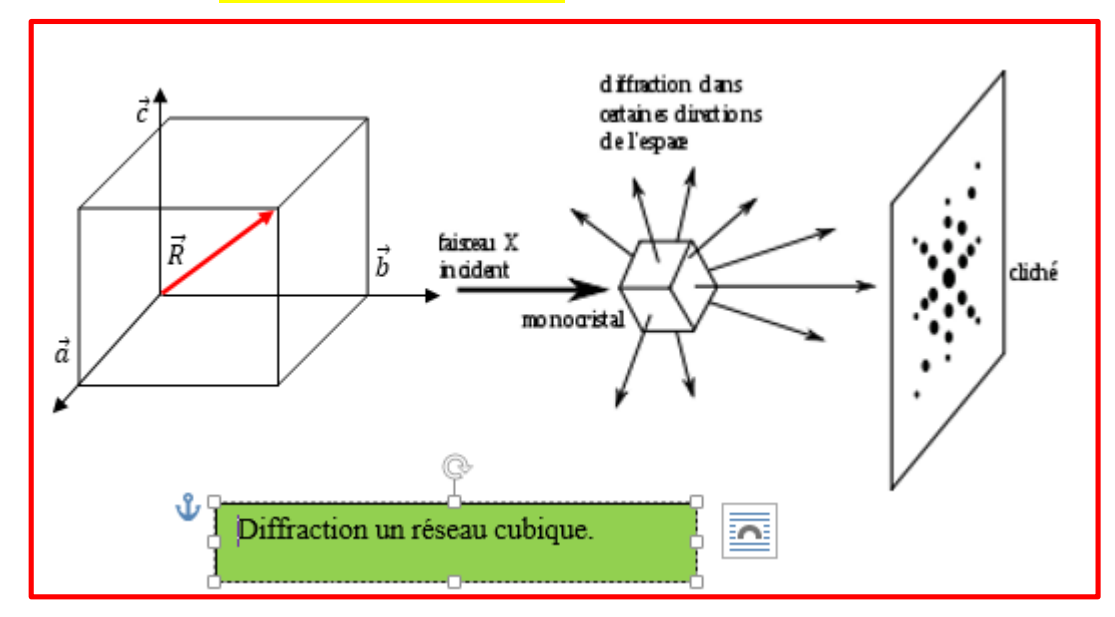
Réseau bidimensionnel (2D): quatre système: cristallin 5types de réseaux.



Réseau réciproque

Le réseau réciproque (R.R.) est l'ensemble des vecteurs \vec{K}

tels que : $e^{i\vec{k}\cdot\vec{k}}=1$.



Distance interréticulaire : d_{hkl}

$$d_{hkl} = \frac{2\pi}{\left|\vec{G}_{hkl}\right|}$$

Les vecteurs de base de réseau réciproque :

$$\overrightarrow{a^*} = 2\pi \frac{\overrightarrow{b} \wedge \overrightarrow{c}}{\overrightarrow{a}, (\overrightarrow{b} \wedge \overrightarrow{c})}$$

$$\overrightarrow{b^*} = 2\pi \frac{\overrightarrow{c} \wedge \overrightarrow{a}}{\overrightarrow{b}, (\overrightarrow{c} \wedge \overrightarrow{a})}$$

$$\overrightarrow{b^*} = 2\pi \frac{\overrightarrow{c} \wedge \overrightarrow{a}}{\overrightarrow{b}, (\overrightarrow{c} \wedge \overrightarrow{a})}$$

$$\vec{a_i}\vec{b_j} = 2\pi\delta_{ij}$$

$$\overrightarrow{c^*} = 2\pi \frac{\overrightarrow{a} \wedge \overrightarrow{b}}{\overrightarrow{c}, (\overrightarrow{a} \wedge \overrightarrow{b})}$$

Vecteur du réseau réciproque:

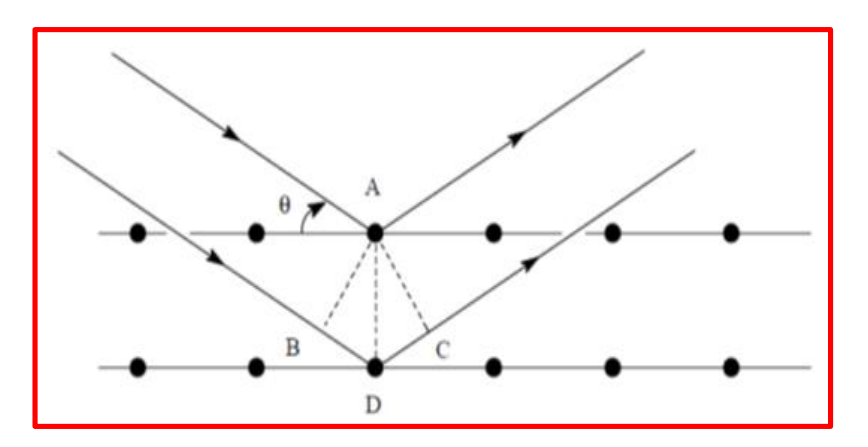
$$\overrightarrow{G_{hkl}} = h\overrightarrow{a^*} + k\overrightarrow{b^*} + l\overrightarrow{c^*}$$

Quelques réseaux directs importants et leurs réseaux réciproques :

Réseau direct	Réseau réciproque
Cubique simple	Cubique simple
Cubique centré	Cubique à faces centrées
Cubique à faces centrées	Cubique centré
Orthorhombique	Orthorhombique
Hexagonal	Hexagonal

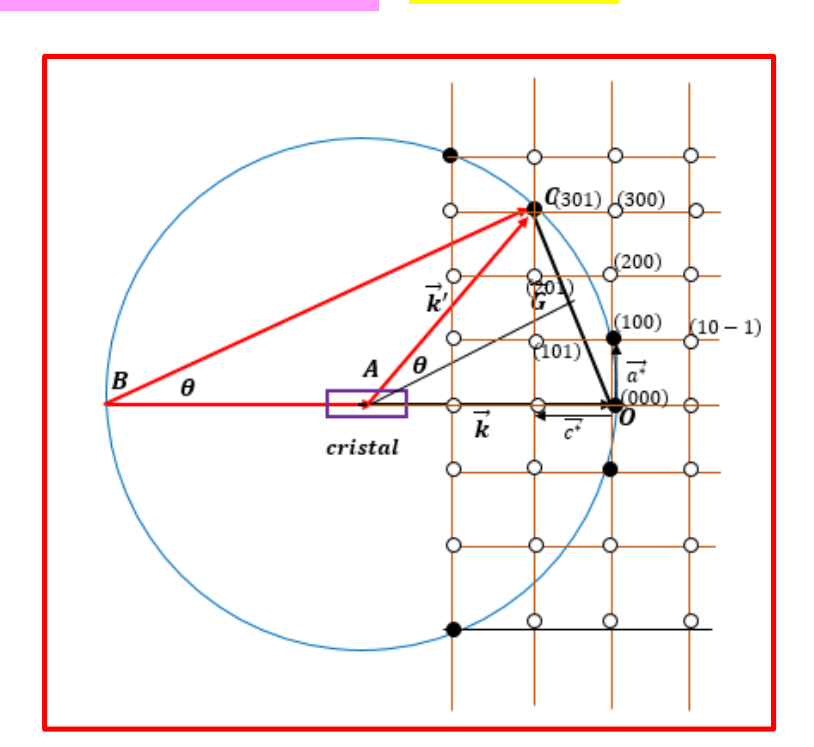
Loi de Bragg:

 $n\lambda = 2d.\sin(\theta)$

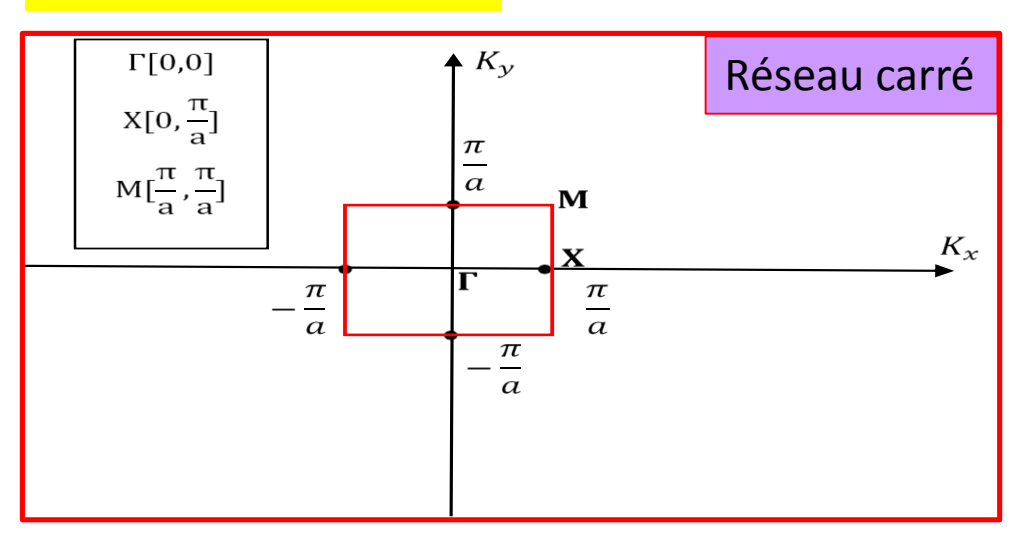


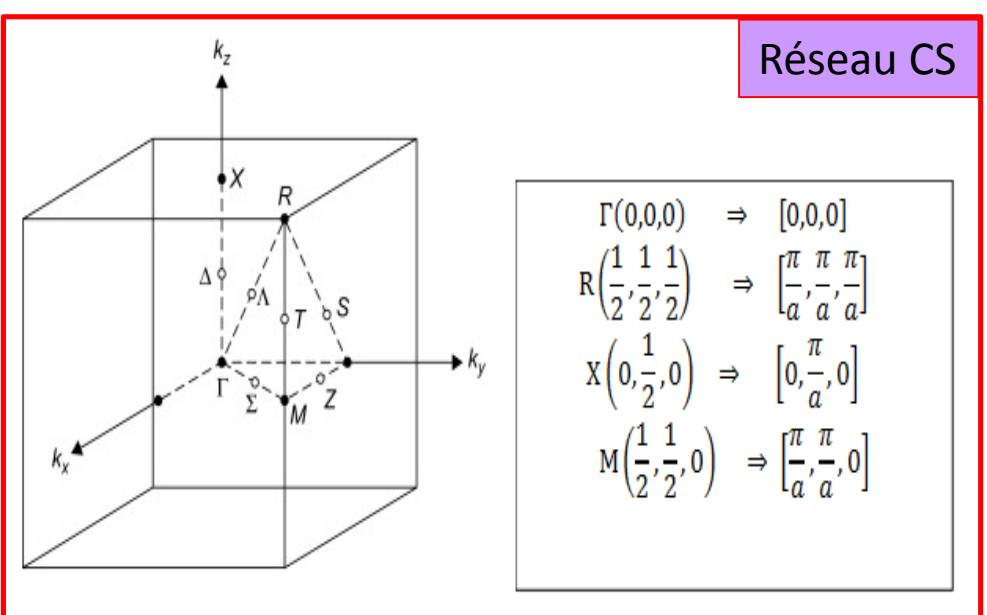
Sphère d'Ewald :

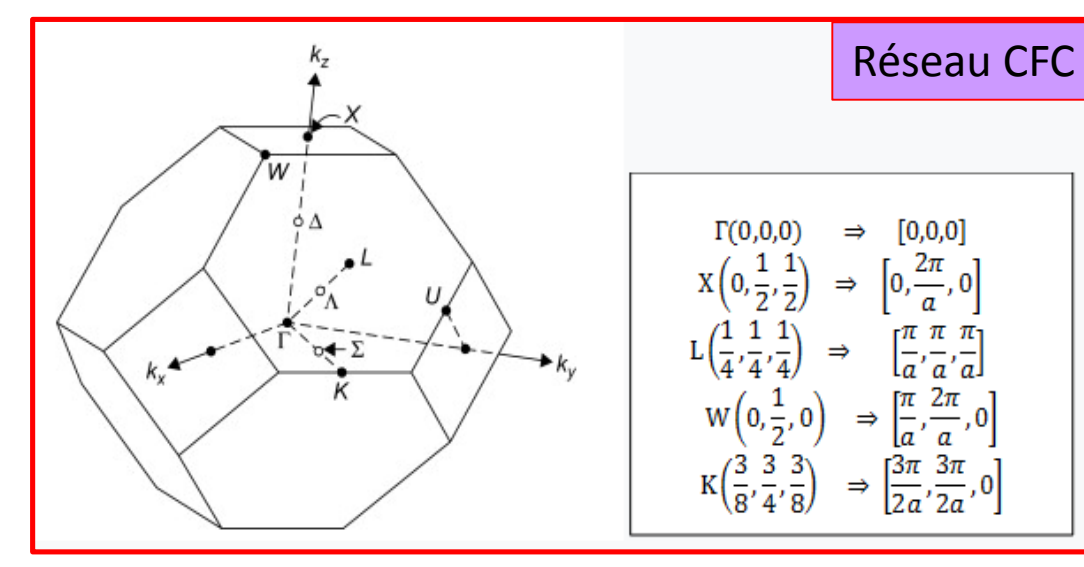
$$\Delta \vec{K} = \vec{G}$$

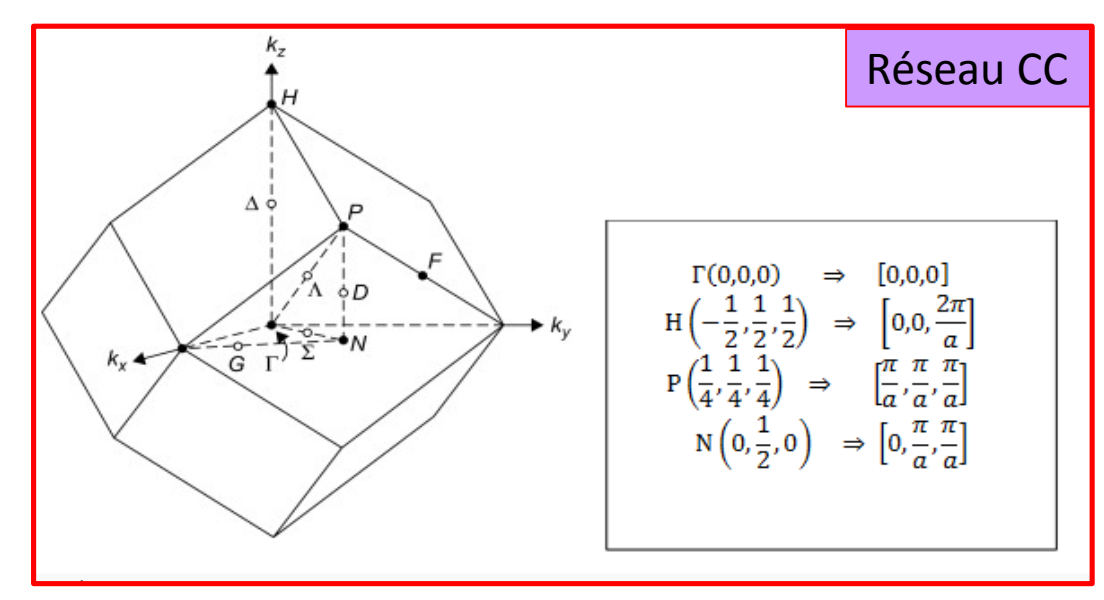


Zones de Brillouin :

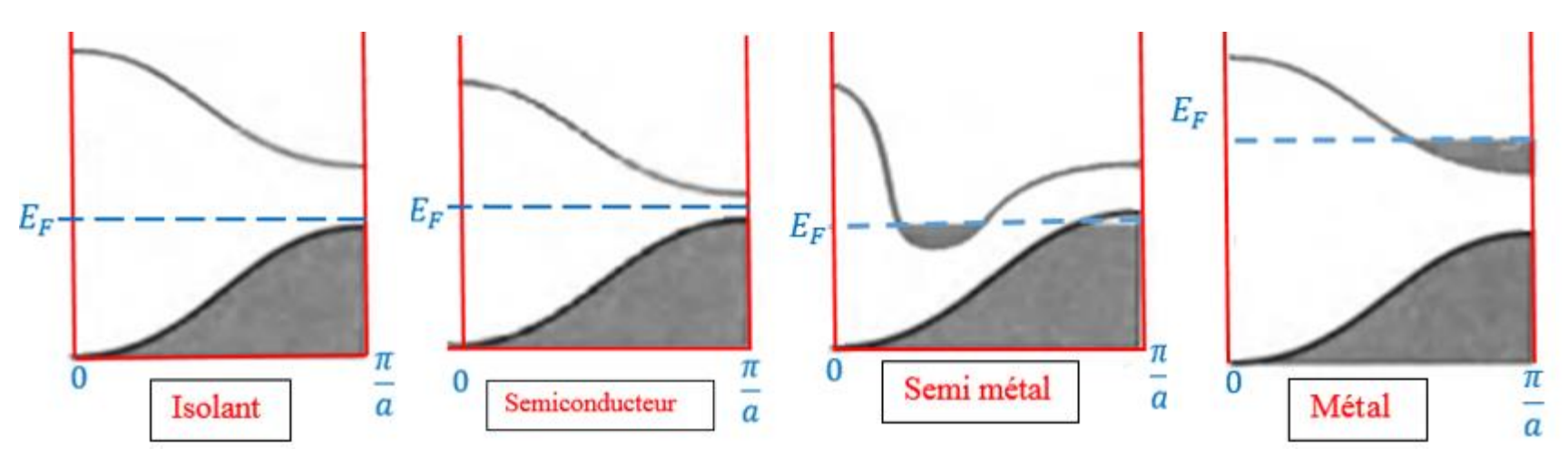








Classement les solides à partir de la structure de bande



$$\psi(r) = e^{i\vec{k}\vec{r}}u_{\vec{k}}(r)$$

$$u_k(\vec{r} + \vec{R}) = u_k(\vec{r})$$

 $\psi_r(\vec{r})$: est la fonction de Block

 $u_k(\vec{r})$: est une fonction périodique

Le théorème de Block:

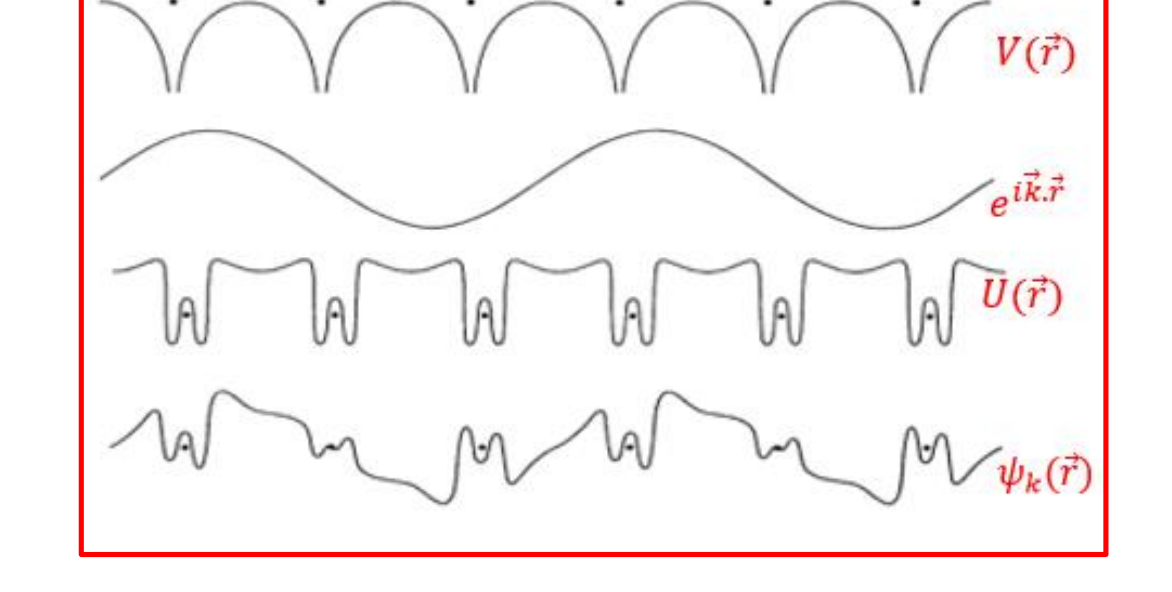
L'équation de Schrödinger:

$$H_e \Phi_n(r) = \left(\frac{p^2}{2m} + V(r)\right) \Phi_n(r) = E_n \Phi_n(r)$$

$$V(\vec{r}+\vec{R})=V(\vec{r})$$
 où \vec{R} est un vecteur du R.D. $\vec{R}=n_1\vec{a_1}+n_2\vec{a_2}+n_3\vec{a_3}$

solution de l'équation de Schrödinger est

Les états propres peuvent se mettre sous la forme:

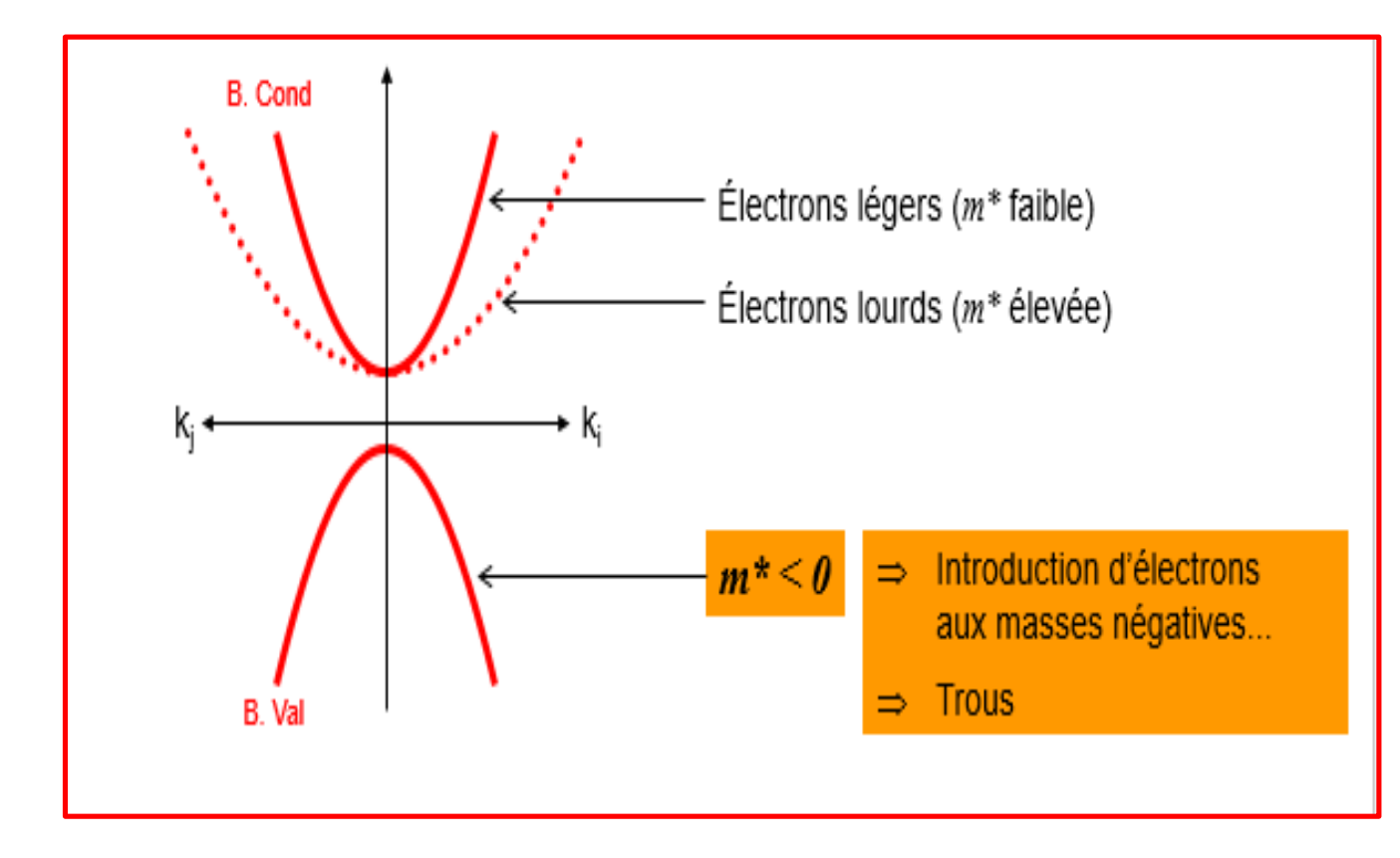


La masse effective:

$$m^* = \hbar^2 \left(\frac{d^2 E}{dk^2}\right)^{-1}$$

La masse effective est inversement proportionnelle à la courbure de la dispersion de l'énergie dans l'espace des k.

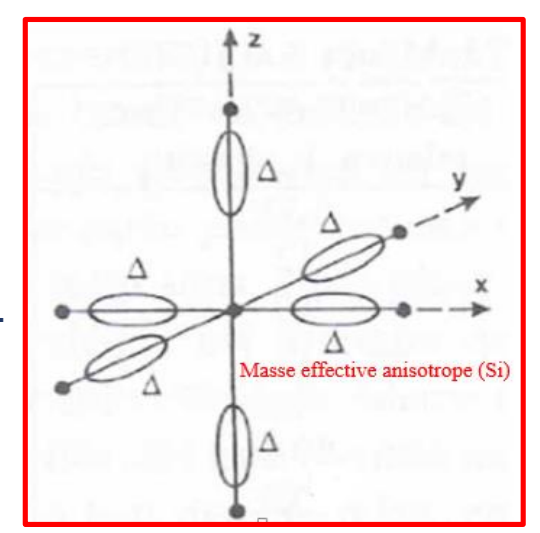
Masse effective positive pour un minimum de bande (BC) et négative pour un maximum de bande (BV).

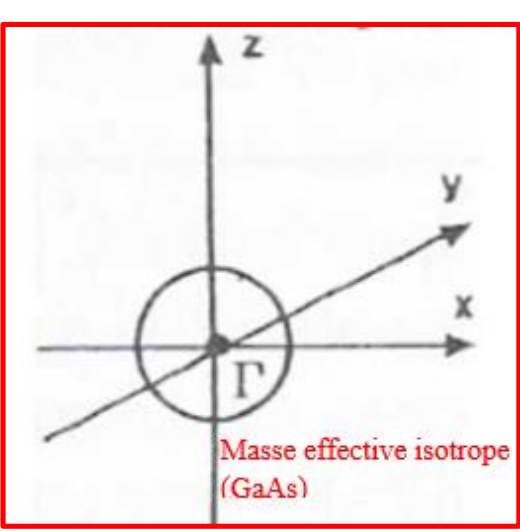


La masse des porteurs dépend de la courbure de la structure de bande.

Dans le cas d'un semiconducteur :

- ❖ à bande interdite indirecte (GaAs), la bande de conduction est isotrope au voisinage de k=0 (état s)
- ❖ à bande interdite indirecte (Si), la bande de conduction n'est plus isotrope.





3) Méthodes de calcul:

Approximation l'électron quasi-libre

Electrons dans un cristal avec potentiel périodique V tel que V(x + a) = V(x)

$$V(x+a) = V(x)$$

Le potentiel V < l'énergie cinétique des électrons (l'électron libre) Le potentiel cristallin périodique se développe en série de Fourier

$$V(x) = \sum_{G \in RR} V_G e^{i G x} \qquad \psi(x) = \sum_K C(K) e^{-iKx}$$

$$\sum_{K} \left[\left(\frac{\hbar^2 K^2}{2m} - E \right) C(K) e^{-iKx} + \left(\sum_{G} V_G C(K) e^{-i(K-G)x} \right) \right] = 0$$

$$\begin{vmatrix} \frac{\hbar^2 (k-G)^2}{2m} - E & V \\ V & \frac{\hbar^2 k^2}{2m} - E \end{vmatrix} = 0$$

$$E^{\pm} = \frac{1}{2} \frac{\hbar^2}{2m} ((k - G)^2 + k^2) \pm \frac{1}{2} \sqrt{[(k - G)^2 + k^2]^2 + 4V^2}$$

$$V(x + a) = V(x)$$

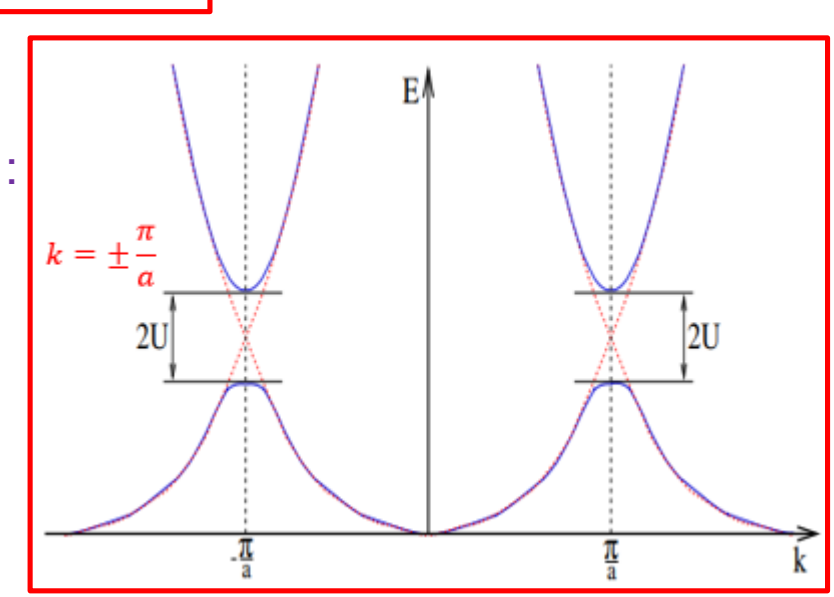
ectron libre)
érie de Fourier

en posant :

$$E = E_0 \pm V + \frac{\hbar^2 q^2}{2m} \left(1 \pm \frac{2E_0}{V} \right)$$

La bande interdite E_q :

$$E_g = 2U$$



Méthode de liaisons fortes :

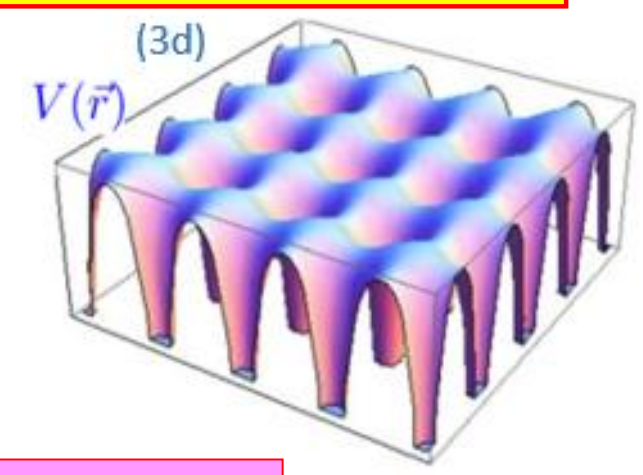
Electron dans un réseau carré

$$\vec{\rho}$$
: $\begin{pmatrix} \pm \frac{a}{2} \\ 0 \end{pmatrix}$, $\begin{pmatrix} 0 \\ \pm \frac{a}{2} \end{pmatrix}$

ce modèle cherche à décrire les électrons «peu délocalisés» : proches de leur couche interne avec un recouvrement partiel d'un site à l'autre.

$$E = E_0 - \alpha - 2\gamma(\cos k_x a + \cos k_y a)$$

v(r) est fort : électron fortement lié



$$H = H_{at} + U$$
 $\bigcup = COU$

U = couplage entre atomes

$$E(k) = E_0 - \beta - \gamma \sum_{m} e^{i\vec{k}.\overrightarrow{\rho_m}}$$

 $\vec{\rho}_m$: représente les vecteurs reliant l'atome situé à l'origine à ses m plus proche voisins.

 E_0 : l'énergie atomique initiale

 β : l'énergie propre de l'orbitale

γ: l'énergie de recouvrement

à l'autre. Au voisinage de Γ : les surfaces d'isoénergie sont sphérique $m^* = \frac{\hbar^2}{2\gamma a^2}$

Electron dans un réseau cubique simple

$$\vec{\rho} : \begin{pmatrix} \pm \frac{a}{2} \\ 0 \\ 0 \end{pmatrix}, \begin{pmatrix} 0 \\ \pm \frac{a}{2} \\ 0 \end{pmatrix}, \begin{pmatrix} 0 \\ 0 \\ \pm \frac{a}{2} \end{pmatrix}$$

 $E = E_0 - \alpha - 2\gamma(\cos k_x a + \cos k_y a + \cos k_z a)$

Au voisinage de Γ : les surfaces d'isoénergie sont sphérique $m^* = \frac{\hbar^2}{2\gamma a^2}$

Electron dans un réseau cubique centrée

$$E = E_0 - \alpha - 8\gamma \cos\frac{k_x a}{2} \cos\frac{k_y a}{2} \cos\frac{k_z a}{2}$$

$$\vec{\rho} : \begin{pmatrix} \pm \frac{a}{2} \\ \pm \frac{a}{2} \\ \pm \frac{a}{2} \end{pmatrix}, \begin{pmatrix} \pm \frac{a}{2} \\ \pm \frac{a}{2} \\ \pm \frac{a}{2} \end{pmatrix}, \begin{pmatrix} \pm \frac{a}{2} \\ \pm \frac{a}{2} \\ \pm \frac{a}{2} \end{pmatrix}$$

Au voisinage de Γ : les surfaces d'isoénergie sont sphérique $m^* = \frac{\hbar^2}{8\nu a^2}$

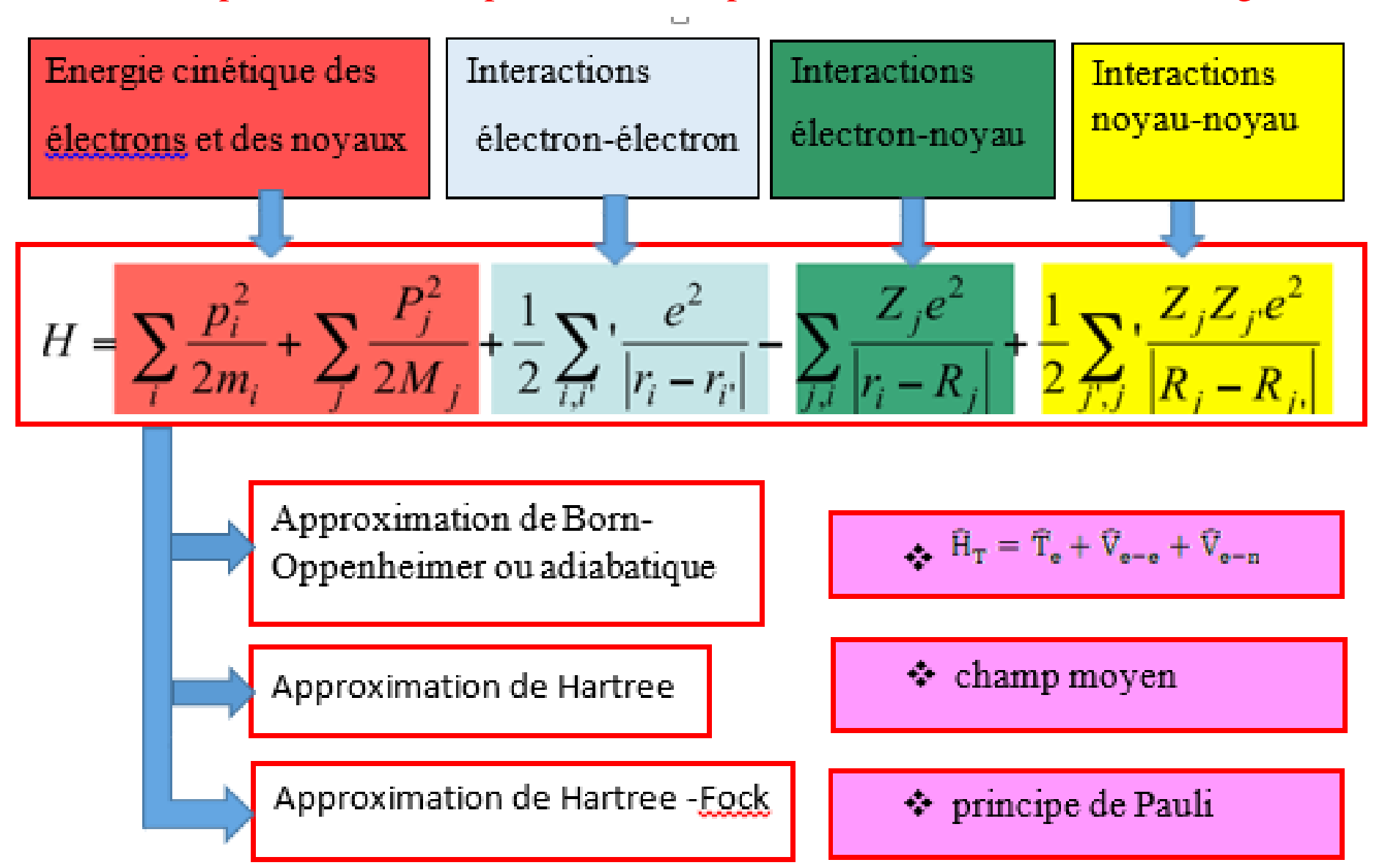
Electron dans un réseau cubique simple

$$\vec{\rho} : \begin{pmatrix} \pm \frac{a}{2} \\ \pm \frac{a}{2} \\ 0 \end{pmatrix}, \begin{pmatrix} \pm \frac{a}{2} \\ 0 \\ \pm \frac{a}{2} \end{pmatrix}, \begin{pmatrix} 0 \\ \pm \frac{a}{2} \\ \pm \frac{a}{2} \end{pmatrix}$$

$$E = E_0 - \alpha - 2\gamma(\cos\frac{k_x a}{2}\cos\frac{k_y a}{2} + \cos\frac{k_x a}{2}\cos\frac{k_z a}{2} + \cos\frac{k_y a}{2}\cos\frac{k_z a}{2})$$

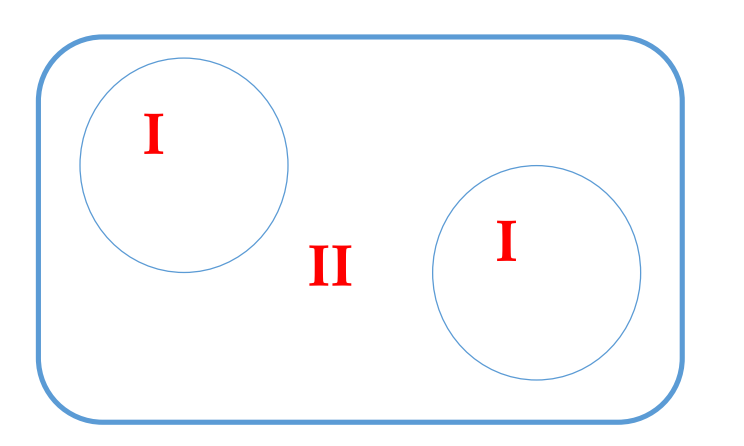
Problème à N corps

Pour un calcul complet nécessite de prendre en compte toutes les interactions et énergies cinétiques du système:



La méthode APW

Selon la méthode des ondes planes augmentées APW proposée par *Slater*, l'espace est divisé en deux régions





Slater

- (I) Des sphères appelées « Muffin-Tin » englobant les atomes où les fonctions d'ondes sont des fonctions radiales multipliées par des harmoniques sphériques.
- (II) Une région interstitielle délimitant l'espace résiduel non occupé par les sphères où les fonctions d'ondes sont sous forme d'ondes planes.

$$\emptyset_{k_n}^{APW}(\mathbf{r}, \epsilon_l) = \begin{cases} \sum_{lm} A_{lm,k_n} u_l(\mathbf{r}, \epsilon_l) Y_{lm}(\hat{r}) & (r \in MT) \\ \frac{1}{\sqrt{V}} e^{ik_n \cdot r} & (r \in I) \end{cases}$$

La méthode FP-LAPW

La méthode LAPW proposée par *Anderson* consiste à rendre les fonctions de bases dans les sphères en combinaisons linéaires, s'écrivent :

$$\emptyset_{k_n}^{LAPW}(\mathbf{r}) = \begin{cases}
\sum_{lm} [A_{lm,k_n} u_l(\mathbf{r}, \epsilon_l) + B_{lm,k_n} u_l(\mathbf{r}, \epsilon_l)] Y_{lm}(\hat{r}) & (r \in MT) \\
\frac{1}{\sqrt{V}} e^{ik_n \cdot r} & (r \in I)
\end{cases}$$



Anderson

Le code WIEN2K développé par Blaha, Schwarz et leurs collaborateurs est une application réussie de la méthode FP-LAPW qui nous a servi de base pour la plupart des calculs.

